

$\rho^{(0)}(z) = \sum_{k=0}^{\infty} A_{2k+1} \rho^{(2k+1)}(z)/2^k$ — регулярна функція в Ім $z > 0$
за основі теореми про узагальнені аналітичні функції [2].

Список літератури: І. Йльюшин А.Л., Победря Б.К.
Основы математической теории термоэлектроупругости. — М.: Наука, 1970.
Д. В. Графов М.А., Аналитические функции. — М.: Наука, 1965.
Р. Курадзе В.Д., Гегелія Т.Г., Башелевишви
лія М.О., Курчуладзе Т.В. Трехмерные задачи математиче
ской теории упругости и термоупругости. — М.: Наука, 1976.

Світли підписано в рукописі 10.02.1980 р.

№ 539.3II

В.І. Гончарук, І.С. Драган
АНТИЛЮСКА ДЕФОРМАЦІЯ ТІЛА
І ТОЧКОВІ ОБМОГИ ПРУЖНОМ ЖИДІМЕНІЮМ

Досліджено антилюску деформацію тіла з котюсувним пружним вільно
здійсненою площею шириной $2a$ і висотою $2h$. Тіло перебуває
під дією зосереджених силових факторів і однорідного поля напружень
за визначеності в умовах антилюскої деформації /рис. I/.

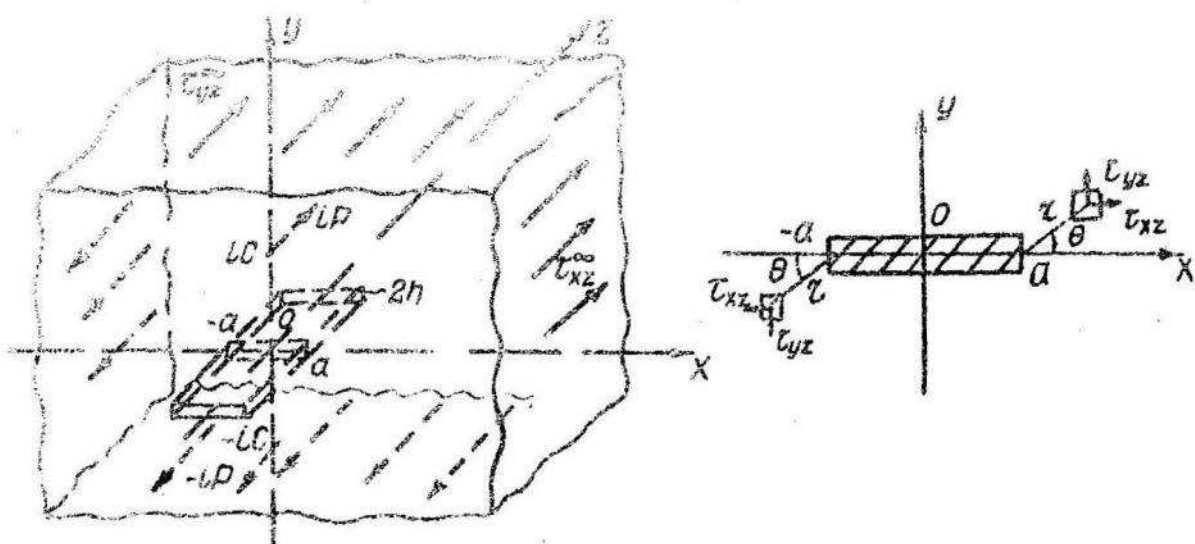


Рис. I.

Величини, які характеризують тонкостінне включення, позначаюмо з індексом нуль, знаками плюс і мінус – граничні значення функцій на верхньому та нижньому берегах включения, сегмент дійсної осі $[-a, a]$ – через L .

На берегах включения наявні умови сплошності:

$$\tau_{yz}^+ = (\tau_{yz})_0^+, \quad W^+ = W_0^+. \quad /1/$$

Як відомо [3], компоненти тензора напружень τ_{xz}, τ_{yz} переміщення w виражаются через одну аналітичну функцію $f(z)$

$$W(x, y) = \frac{1}{\mu} \operatorname{Re} f(z), \quad \tau_{xz} - i\tau_{yz} = f'(z) = F(z), \quad /2/$$

де μ – модуль зсуву матриці.

Для тонкостінного включения можемо записати аналогічно як у праці [2]:

$$(\tau_{yz})_0^+ - (\tau_{yz})_0^- = h Q'_1(x), \quad (\tau_{yz})_0^+ + (\tau_{yz})_0^- = P_1(x), \quad /3/$$

$$(W_0^+ - W_0^-)' = \frac{\mu}{\mu_0} P_1'(x), \quad (W_0^+ + W_0^-)' = \frac{1}{\mu_0} Q_1'(x),$$

де $P_1(x), Q_1(x)$ – невідомі функції.

Виходячи з /1/ і беручи до уваги /2/ і /3/, одержуємо такі крайові задачі:

$$F^+(x) - F^-(x) = h \left[\frac{\mu}{\mu_0} P_1'(x) + i Q_1'(x) \right], \quad /4/$$

$$F_0^+(x) + F_0^-(x) = \frac{\mu}{\mu_0} [Q_0(x) + i Q_0'(x)] - i [P_0(x) + i P_0'(x)], \quad /5/$$

із

$$Q_0(x) - i P_0(x) = 2 F_0(x); \quad \varepsilon = \frac{\min(\mu_0, \mu)}{\mu_0};$$

$$P(x) = P_0(x) - \varepsilon P_0'(x); \quad Q(x) = Q_0(x) - \varepsilon Q_0'(x);$$

$F_0(x)$ – розв'язок задачі для тіла без включения; $Q_0(x) \rightarrow P_0(x)$ – ділені функції.

Розв'язок задачі лінійного спривення /4/ має вигляд

$$F(z) = \frac{h}{2\pi i} \int_{-\alpha}^{\alpha} \frac{\left[\frac{\mu}{\mu_0} P(x) + i Q'(x) \right]}{x-z} dx + F_0(z). \quad /6/$$

Підставляючи /6/ у /5/, записуємо два сингулярних інтегро-диференціальних рівняння для визначення невідомих функцій $Q(x)$ і $P(x)$:

$$\frac{\mu}{\mu_0} Q(x) - \frac{h}{\pi} \int_{-\alpha}^{\alpha} \frac{Q'(t) dt}{t-x} = 2(1 - \frac{\mu}{\mu_0} \varepsilon) \operatorname{Re} F_0(x), \quad x \in L \quad /7/$$

$$P(x) - \frac{h\mu}{\pi\mu_0} \int_{-\alpha}^{\alpha} \frac{P'(t) dt}{t-x} = 2(\varepsilon-1) J_m F_0(x), \quad x \in L.$$

Розв'язок /7/ шукаємо у вигляді

$$\begin{pmatrix} Q(ax) \\ P(ax) \end{pmatrix} = -\sqrt{1-x^2} \sum_{m=1}^{\infty} \frac{1}{m} \begin{pmatrix} X_m \\ Y_m \end{pmatrix} U_{m-1}(x), \quad |x| \leq 1, \quad /8/$$

де $U_m(x)$ - поліноми Чебишова другого градуса; X_m, Y_m - невідомі коефіцієнти, для визначення яких після відповідних перетворень отримаємо дві квазірегулярні системи лінійних алгебраїчних рівнянь:

$$\frac{\pi h}{2a} X_n + \frac{\mu}{\mu_0} \sum_{m=1}^{\infty} R(m,n) X_m = 2 \left(\frac{\mu}{\mu_0} \varepsilon - 1 \right) \operatorname{Re} I_n, \quad /9/$$

$$\frac{\pi h \mu}{2a \mu_0} Y_n + \sum_{m=1}^{\infty} R(m,n) Y_m = 2(1-\varepsilon) J_m I_n, \quad (n=1,2,\dots),$$

де

$$I_n = \int_{-1}^1 \sqrt{1-x^2} U_{n-1}(x) F_0(ax) dx,$$

$$R(m,n) = \begin{cases} 0, \text{ якщо } (m+n) \text{ - непарне}, \\ \frac{i}{m(m+n+1)(m+n-1)} - \frac{i}{m(m+n)(m+n-1)}, \text{ якщо } (m+n) \text{ - парне}. \end{cases} \quad /10/$$

Підставляючи /8/ та /6/, знаходимо вираз для функції $F(z)$

$$F(z) = \frac{i}{2a} \sum_{m=1}^{\infty} \left(X_m - i \frac{\mu}{\mu_0} Y_m \right) \left[U_m \left(\frac{z}{a} \right) - \frac{a T_m \left(\frac{z}{a} \right)}{yz^k - a^{k+2}} \right] + f_2(z). \quad /11/$$

Із постановки задачі про напруженно-деформований стан такої конфігурації видно що, що досить розглянути розподіл напружень і переміщень в одному поперечному перерізі XOY . Розподіл напружень і переміщень в околі кінців вільччя можна записати у вигляді /рис. I/:

$$\tau_{xz} = \frac{i}{\sqrt{2\varepsilon}} (K_1 \cos \frac{\theta}{2} - K_2 \sin \frac{\theta}{2}) + O(\sqrt{\varepsilon}),$$

$$\tau_{yz} = \frac{i}{\sqrt{2\varepsilon}} (K_1 \sin \frac{\theta}{2} + K_2 \cos \frac{\theta}{2}) + O(\sqrt{\varepsilon}), \quad /12/$$

$$W = \frac{i\sqrt{2\varepsilon}}{2\varepsilon} (K_1 \cos \frac{\theta}{2} + K_2 \sin \frac{\theta}{2}) + O(\varepsilon^{3/2}),$$

де K_1 і K_2 - коефіцієнти інтенсивності напружень, які визначаються формулами

$$K_1 - iK_2 = - \frac{i}{2\sqrt{a}} \sum_{m=1}^{\infty} (-1)^{(m+1)(2-j)} \left(X_m - i \frac{\mu}{\mu_0} Y_m \right) \quad /13/$$

і $j=1$ для кінця $-a$ і $j=2$ для кінця a .

Зробивши у формулах /7/ або /9/ граничний перехід відповідно при $\mu \rightarrow \infty$, $\mu_0 \rightarrow 0$, $\mu_0 \rightarrow \mu$, враховуючи /6/ і /II/; маємо розв'язок наступних задач: для абсолютно короткого вільччя, поздовжнього вільччя /роярізу/ і для тіла без вільччя; а із формули /10/ - відповідно розподіл напружень і переміщень для короткого вільччя і трішки [1, 3].

Проведено числовий аналіз задачі для навантажень таких видів:
 а/ на нескінченності прикладені напруження τ_{xz}^{∞} і τ_{yz}^{∞} , зосереджені сили відсутні; б/ напруження на нескінченності відсутні, а в точках $Z = z \pm c$, відповідно прикладені зосереджені сили $t \mp P$. Системи рівнянь /9/ розв'язували методом редукції. Обчислення проводили при $a/h = 10$. На рис. 2 показана залежність кое-

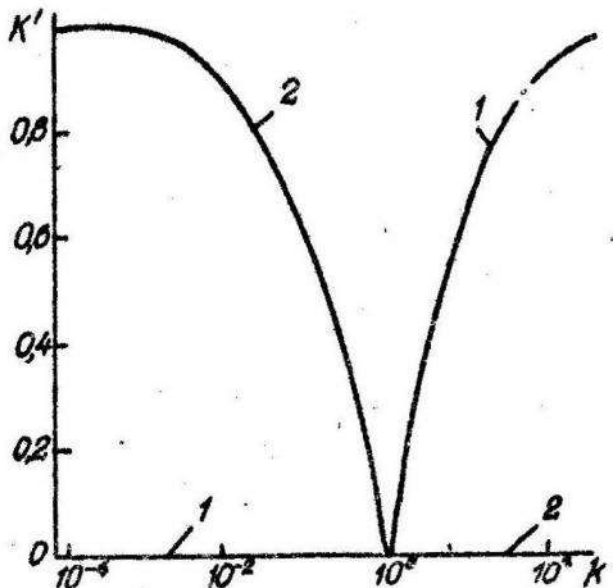


Рис. 2.

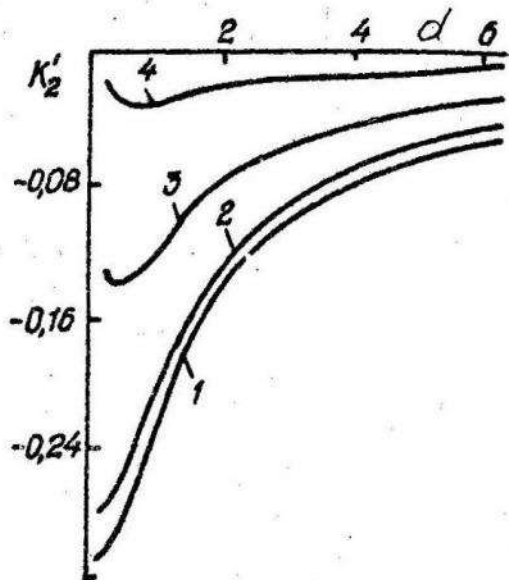


Рис. 3.

фіксантів інтенсивності напружень від відносної жорсткості включення K''_{xz}/μ для випадку а/. Крива I характеризує $K'_1 = K_1/(\sqrt{a} \tau_{xz}^{\infty})$, крива - 2 - $K'_2 = K_2/(\sqrt{a} \tau_{yz}^{\infty})$. Залежність $K'_2 = K_2 \sqrt{a}/P$ від відносної відстані між включненням і точкою прикладання сили $d - c/a$ для випадку б/ показана на рис. 3. Криві I-4 характеризуються послідовно такими значеннями параметра K : $10^{-3}; 10^{-2}; 10^{-1}; 0,5$. Числовий розв'язок, отриманий для $K = 10^{-3}$ з точністю до 3%, збігається з аналітичним розв'язком для тріщини /розрізу/.

Список літератури: 1. Бережников Л.Т., Нень М.П. Антиплоскі деформації тіла з жесткими включненнями. - Проблемы прочности, 1975, № 8. 2. Ураган М.С., Опакасович В.К. Напряженное состояние ядра см/балки/ с промежуточным тонкостенным включением. - ЦММ, 1979, т.43, № 2. 3. Панасюк В.В., Саврук М.Л., Гайдичник А.Н. Распределение напряжений около трещин в пластинках и оболочках. - Киев: Наукова думка, 1976.

Стаття надійшла в редакцію 25.02.1980 р.